_ СТРУКТУРА, ФАЗОВЫЕ ПРЕВРАЩЕНИЯ ___ И ДИФФУЗИЯ

УДК 669.715:539.25

АНАЛИЗ ФАЗОВОГО СОСТАВА СИСТЕМЫ Al—Cu—Mn—Ca КАК ОСНОВЫ ЖАРОПРОЧНЫХ АЛЮМИНИЕВЫХ СПЛАВОВ

© 2024 г. Н. А. Белов^а, А. И. Ковалев^{b, *}, Д. А. Винник^{b, c, d}, К. А. Цыденов^a, С. О. Черкасов^a

^аНИТУ "МИСиС", кафедра обработки металлов давлением, Ленинский пр-т, 4, стр. 3, Москва, 119049 Россия ^bЮУрГУ, пр-т Ленина, 76, Челябинск, 454080 Россия ^cМФТИ, Институтский пер., 9, Долгопрудный, 141701 Россия ^dСанкт-Петербургский государственный университет, Университетский пр-т, 26, Санкт-Петербург, 198504 Россия *e-mail: kovalev-andrey-i@mail.ru
Поступила в редакцию 07.03.2024 г.
После доработки 17.05.2024 г.
Принята к публикации 28.05.2024 г.

Проведен анализ фазового состава сплавов системы Al-Cu-Ca-Mn, содержащих 6%Cu, 2%Mn и до 4% Ca (мас.%). Предложено строение фазовой диаграммы в области алюминиевого угла, согласно которой в твердом состоянии возможно наличие пяти четырехфазных областей с участием твердого раствора на основе алюминия (Al) и различных интерметаллидов. Для разработки жаропрочных сплавов нового поколения предлагается в качестве основы композиция Al-6%Cu-1%Ca-2%Mn. При таких концентрациях легирующих элементов возможно сочетание алюминиевой матрицы, содержащей дисперсоиды $Al_{20}Cu_2Mn_3$, и эвтектики (Al)+ $Al_{27}Ca_3Cu_7$, характеризующейся тонким строением.

Ключевые слова: алюминиевые сплавы, система Al—Cu—Mn—Ca, фазовый состав, эвтектика **DOI:** 10.31857/S0015323024090014, **EDN:** KFMFFN

ВВЕДЕНИЕ

Алюминиевые сплавы — это обширный класс материалов, спрос на которые не угасает благодаря их специфическим технологическим свойствам [1-5]. Использование алюминиевых сплавов растет с каждым годом, в частности, одна из сфер применения – двигатель внутреннего сгорания (ДВС). Для поршней ДВС одним из основных требований, определяющих условия их работы, является высокая жаропрочность, чего, однако, недостает марочным сплавам. В качестве примера марочных жаропрочных сплавов, используемых для изготовления поршней ДВС в нынешнее время, можно привести силумины, легированные никелем [6-14]. Анализ их фазового состава и структуры позволяет сделать вывод, что значительное повышение их жаропрочности маловероятно. В значительной мере это обусловлено тем, что алюминиевая матрица силуминов не содержит переходные металлы (в частности, Mn, Cr, Zr), а температура солидуса не превышает 505—530°С [6]. Из этого вытекает необходимость поиска альтернативных систем легирования, позволяющих создавать сплавы, обладающие структурой с термостойкой матрицей и высоким солидусом.

В работах [15-17] приведено обоснование принципиальной возможности создания высокотехнологичных деформируемых алюминиевых сплавов нового поколения на основе системы Al-Cu-Mn с повышенной прочностью и термостойкостью (до 400°C). Такое сочетание достигается наличием в структуре дисперсоидов фазы $Al_{20}Cu_2Mn_3$ в количестве 7–8 об.%. Технология получения таких сплавов не требует операций гомогенизации (для слитков) и закалки (для деформированных полуфабрикатов). По совокупности расчетных и экспериментальных данных были обоснованы концентрации меди (1.5-2 мас.%) и марганца (1.5-2 мас.%), которые позволяют реализовать наилучшее сочетание технологичности и физико-механических свойств.

Для повышения высокотемпературных свойств сплавов системы Al-Cu-Mn целесообразно рассмотреть возможность их дополнительного легирования добавкой эвтектикообразующего элемента. В последнее время для создания жаропрочных алюминиевых сплавов в качестве альтернативы силуминам многие исследователи рассматривают сплавы с добавкой церия (в количестве до 12 мас.%), а также других РЗМ [18-21]. Церий образует не только двойной алюминид Al₁₁Ce₃, но и более сложные фазы, в частности, с медью и марганцем. Однако церий относительно дорогой металл, что является его существенным недостатком. Согласно работам [22-25], в качестве альтернативы церию целесообразно рассмотреть кальций, который образует в алюминиевых сплавах схожие фазы, но при этом дешевле церия. Таким образом, систему Al-Cu-Mn-Ca можно считать перспективной для создания на ее основе жаропрочных алюминиевых сплавов нового поколения. Поскольку в литературе отсутствуют сведения о строении данной четверной системы, требуется ее экспериментальное изучение. Согласно предыдущим публикациям по диаграммам Al-Cu-Ca и Al-Мп-Са, кальций (как и церий) образует тройные соединения как с медью [26], так и с марганцем [27]. Это предполагает сложное строение рассматриваемой четверной системы с большим количеством фазовых областей и реакций кристаллизании.

Исходя из вышесказанного, цель данной работы заключалась в экспериментальном изучении фазовой диаграммы системы Al—Cu—Mn—Ca и обосновании перспективного концентрационного диапазона для разработки жаропрочных алюминиевых сплавов.

МЕТОДИКА ЭКСПЕРИМЕНТА

Объектами исследования были 6 экспериментальных сплавов, содержащих 6%Cu, 2%Mn и переменную концентрацию кальция от 0 до

4% (табл. 1, здесь и далее концентрация элементов приведена в мас.%). Данные сплавы готовили на основе первичного алюминия марки А99 (ГОСТ 11069-2001). Медь марки M1 (ГОСТ 859-2001) вводили в чистом виде, а марганец и кальций в виде лигатур Al-20% Мп и Al-10% Са соответственно (ГОСТ 53777-2010). Плавку проводили в электрической печи сопротивления GRAFICARBO в графитошамотном тигле. Плоские слитки экспериментальных сплавов с размерами 15×30×180 мм получали литьем в графитовую изложницу (скорость охлаждения составляла около 20 К/с). Фактический химический состав экспериментальных сплавов, который определяли методом спектрального анализа, был достаточно близок к номинальному. Слитки экспериментальных сплавов изучали как в литом состоянии, так и после отжига при 540°С и 580°С (кроме сплавов 0Са и 0.5Са) в течение 6 часов. Отжиг проводили в муфельной электропечи SNOL 8.2/1100. Термический анализ (методом дифференциальной сканирующей калориметрии – ДСК) проводили на приборе синхронного термического анализа STA 449 F1 Jupiter при скорости нагрева и охлаждения 2 К/мин, помещая навеску образца (отожженного при 540°C) в корундовый тигель.

Микроструктуру литых образцов изучали на электронном сканирующем микроскопе (СЭМ) TESCAN VEGA 3, укомплектованном энергодисперсионной приставкой-микроанализатором OXFORD и программным обеспечением Aztec для микроренттеноспектрального анализа (МРСА).

РЕЗУЛЬТАТЫ И ИХ ОБСУЖДЕНИЕ

Микроструктура литых сплавов

В структуре базового сплава 0Ca, как и следовало ожидать, значительная часть меди связана в эвтектические включения фазы Al_2 Cu, которые в виде прожилок располагаются по границам

Таблица 1. Номинальный химический состав экспериментальных сплавов и результаты ДСК

Обозначение сплава	Концентрации, мас.%				Результаты ДСК (<i>T</i> , °C)		
	Cu	Mn	Ca	Al	$T_{ m L}^{-1}$	$T_{ m NS}^{-1}$	$T_{ m S}^{\ 2}$
0Ca	6	2	0	Основа	639.1	539.5	545.5
0.5Ca	6	2	0.5		638.0	539.7	587.0
1Ca	6	2	1		634.8	537.5	614.3
2Ca	6	2	2		648.9	_	616.8
3Ca	6	2	3		658.6	_	616.8
4Ca	6	2	4		676.6	_	616.8

 $^{^{1}}T_{L}$ – ликвидус, T_{NS} – неравновесный солидус (по кривой охлаждения); $^{2}T_{S}$ – равновесный солидус (по кривой нагрева).

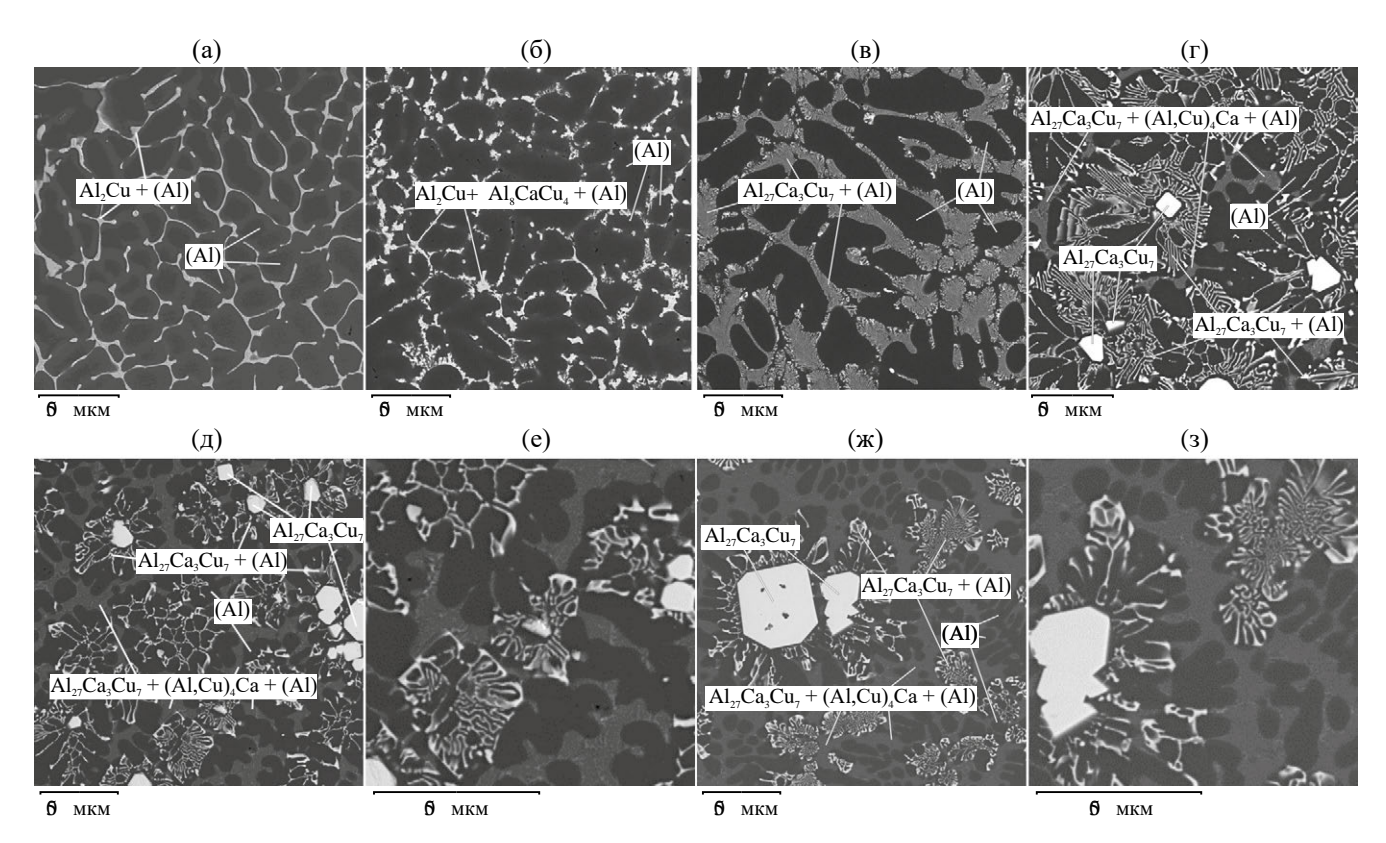


Рис. 1. Микроструктура экспериментальных сплавов в литом состоянии, СЭМ: (а) 0Ca; (б) 0.5Ca; (в) 1Ca; (г) 2Ca; (д-е) 3Ca; (ж-з) 4Ca.

дендритных ячеек алюминиевого твердого раствора — (Al) (рис. 1a). При этом марганец полностью растворен в (Al), а концентрация меди в твердом растворе не превышает 2%. Добавление 0.5%Са мало сказывается на растворимости Си и Мп в (Al), а количество эвтектических включений увеличивается, поскольку кальций практически не растворим в (Al).

Принимая во внимание данные ДСК (табл. 1) и строение диаграммы Al—Ca—Cu [26, 28] и согласно качественному анализу состава эвтектики, она может быть идентифицирована как (Al)+ $Al_8CaCu_4+Al_2Cu$. В сплавах с большим содержанием кальция концентрация Mn в (Al) практически не меняется, оставаясь в пределах 1.4-1.7% (рис. 2). Однако концентрация Cu в (Al) существенно снижается и в сплаве 4Ca составляет всего 0.53%.

Еще более заметное влияние оказывает кальций на микроструктуру. Если в сплаве 1Са она доэвтектическая (рис. 1в), то в сплавах 2Са, 3Са и 4Са — заэвтектическая (рис. 1г—е). В последних присутствуют первичные кристаллы компактной формы, которые, согласно картам распределения элементов, содержат не только медь и кальций, но и марганец (рис. 3). По данным количественного анализа состав этих кристал-

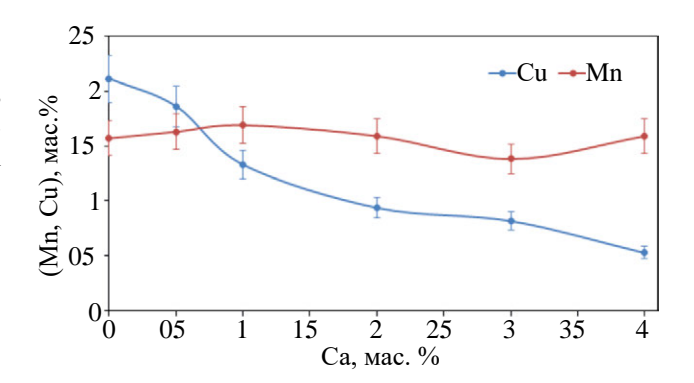


Рис. 2. Влияние содержания кальция в сплавах системы Al-Cu-Ca-Mn (при 6%Cu и 2%Mn) на концентрации меди и марганца в алюминиевом твердом растворе в литом состоянии.

лов во всех трех сплавах практически одинаков (табл. 2). Поскольку концентрация кальция соответствует соединению $Al_{27}Ca_3Cu_7$ (34.4%Cu, 9.3%Ca), то наличие марганца в кристаллах можно связать с тем, что этот элемент частично замещает атомы меди и алюминия в кристаллической решетке этого соединения. Последняя, по данным [26], является кубической и относится к пространственной группе Pm3m с периодом решетки ~ 8.514 Å. Следуя вышесказанно-

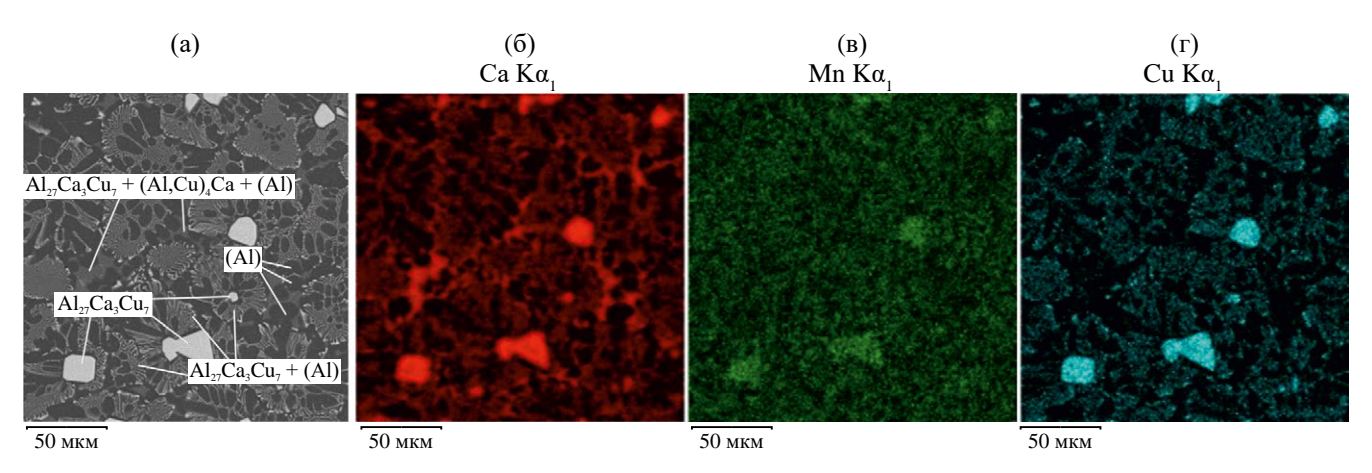


Рис. 3. Карты распределения элементов в микроструктуре литого сплава 2Ca, СЭМ (a), MPCA (б-г): б) Ca; в) Мп; г) Сu.

Таблица 2. Состав Са-содержащих структурных составляющих

Carron		Концентра	ция, мас.%		IX1	
Сплав	Ca	Cu	Mn	Al	Идентификация структурных составляющих	
1Ca	2.0	10.3	1.1		Эвтектика – (Al)+Al ₂₇ Ca ₃ Cu ₇	
	9.6	33.4	4.1		Первичные — $Al_{27}Ca_3Cu_7$	
2Ca	1.8	6.5	1.9	0.0000000000000000000000000000000000000	Эвтектика – (Al)+ $Al_{27}Ca_3Cu_7$	
	7.4	2.8	1.1		Эвтектика – (Al)+ $Al_{27}Ca_3Cu_7$ +(Al,Cu) ₄ Ca	
3Ca 9.5 7.5	9.5	32.7	4.0	Остальное	Первичные — $Al_{27}Ca_3Cu_7$	
	7.5	2.3	1.1		Эвтектика – (Al)+ $Al_{27}Ca_3Cu_7$ +(Al,Cu) ₄ Ca	
4Ca	9.5	32.9	4.2		Первичные — $Al_{27}Ca_3Cu_7$	
	7.3	2.3	1.4		Эвтектика – (Al)+ $Al_{27}Ca_3Cu_7$ +(Al,Cu) ₄ Ca	

му, формулу данной фазы можно записать как $(Al, Mn)_{27}$ $Ca_3(Cu, Mn)_7$.

В сплаве 1Са эвтектика, которая по данным MPCA идентифицируется как (Al)+ $Al_{27}Ca_3Cu_7$, составляет примерно половину площади микрофотографии (рис. 1в). Следует отметить ее тонкое строение, что благоприятно для механических свойств. В микроструктуре сплавов с большим содержанием кальция появляется еще одна эвтектика, более дисперсная чем первая (рис. 1г—е, рис. 3). По данным MPCA (см. табл. 2) ее состав одинаков во всех трех сплавах (немногим более 7%Ca, 2%Cu и 1%Mn). С учетом работы [26] эта эвтектика может быть идентифицирована как (Al)+ $Al_{27}Ca_3Cu_7$ +(Al,Cu) $_4$ Ca. При этом ее количество увеличивается с ростом содержания кальция в сплаве.

Микроструктура отожженных сплавов

В базовом сплаве 0Са отжиг при 540°С привел к формированию структуры, отвечающей равновесному состоянию, согласно диаграмме Al—Cu—Mn [16]. Большая часть меди растворилась в (Al) (осталось небольшое количество

эвтектических включений фазы Al_2Cu), а дисперсоиды $Al_{20}Cu_2Mn_3$, наоборот, выделились из (Al). Такие же изменения произошли и в сплаве 0.5Ca. Поскольку температура отжига была высокой, то и размер образовавшихся дисперсоидов достаточно велик (около 1 мкм), чтобы их выявлять методом СЭМ (рис. 4a).

В сплаве 1Са, содержащем значительное количество эвтектики (Al)+Al₂₇Ca₃Cu₇, эти дисперсоиды также четко выявляются (рис. 4б). При этом частицы фазы Al₂₇Ca₃Cu₇ не проявляют заметных следов фрагментации. Другая картина наблюдается в сплавах с большим содержанием кальция. В них полностью отсутствуют следы образования дисперсоидов Al₂₀Cu₂Mn₃, а, с другой стороны, видны глобулярные частицы фазы (Al,Cu)₄Ca (рис. 4в, г). Это можно связать с тем, что при таких концентрациях кальция сплавы попадают в другую фазовую область, в которой фаза Al₂₀Cu₂Mn₃ отсутствует.

После отжига при 580° С во всех сплавах четко выявляются следы фрагментации и сфероидизации эвтектических частиц $Al_{27}Ca_3Cu_7$ (рис. 5). При этом дисперсоиды $Al_{20}Cu_2Mn_3$ присутству-

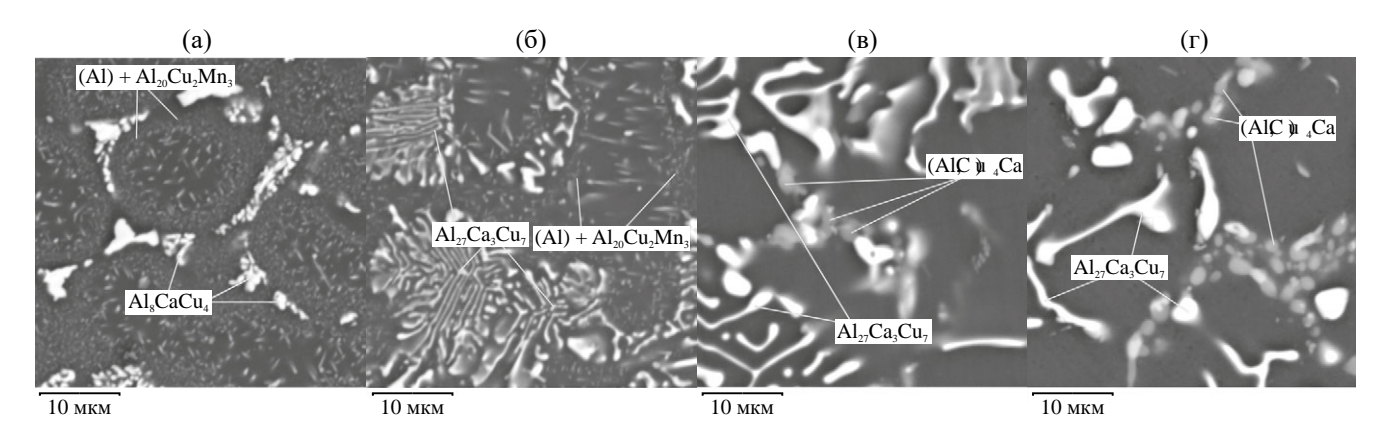


Рис. 4. Микроструктура экспериментальных сплавов после отжига при 540°C (6 ч), СЭМ: (а) 0.5Ca; (б) 1Ca; (в) 2Ca; (г) 3Ca.

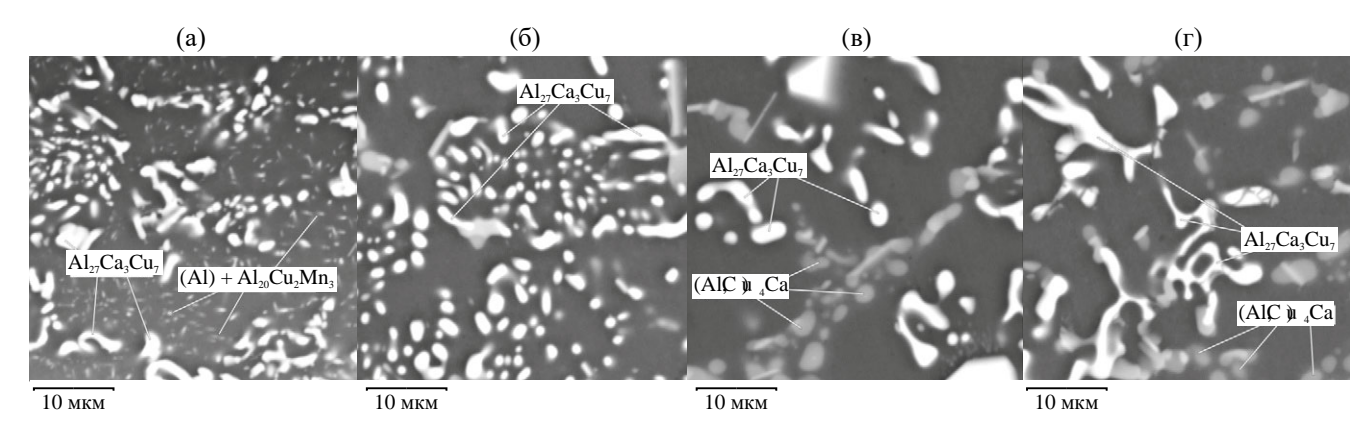


Рис. 5. Микроструктура экспериментальных сплавов после отжига при 580°С (6 ч), СЭМ: (а) 1Ca; (б) 2Ca; (в) 3Ca; (г) 4Ca.

Таблица 3. Состав алюминиевого твердого раствора в экспериментальных сплавах, мас. %

	Состояние						
Сплав	Литое		Отжиг 5	40°С, 6 ч	Отжиг 580°С, 6 ч		
	Cu	Mn	Cu	Mn	Cu	Mn	
2Ca	0.9	1.6	0.6	1.2	0.5	0.8	
3Ca	0.8	1.4	0.5	1.1	0.5	0.8	
4Ca	0.5	1.6	0.5	1.1	0.5	0.7	

ют как в сплаве с 1%Са (рис. 5а), так и в сплавах с более низкими концентрациями кальция. Из этого следует, что фазовый состав данных сплавов при повышении температуры от 540 до 580°С не меняется.

Анализ состава (Al) в сплавах с 2—4%Са показывает снижение в нем, с повышением температуры отжига, концентрации Мп, которая во всех трех сплавах находится примерно на одном уровне (табл. 3). Если в литом состоянии она составляет 1.4—1.6%, то после отжига при 540°С происходит снижение до 1.1—1.2%, а после отжига при 580°С — до 0.7—0.8%. Следует отметить, что последние значения очень близки к равновесной концентрации при 580°С в двойной системе Al—

Мп (0.78%) [29]. Более высокие значения при 540°С (табл. 3), вероятно, связаны с тем, что для данной температуры 6-часовой отжиг недостаточен для достижения равновесной растворимости (она составляет 0.54%Мп). Что касается меди, то ее концентрации при обеих температурах отжига практически одинаковы. Это можно объяснить тем, что из-за большей диффузии Си в (Al) по сравнению с Мп равновесная концентрация достигается уже при 540°С.

Прогнозирование строения фазовой диаграммы Al—Cu—Mn—Ca

Как следует из результатов структурных исследований, добавка кальция к сплавам, содер-

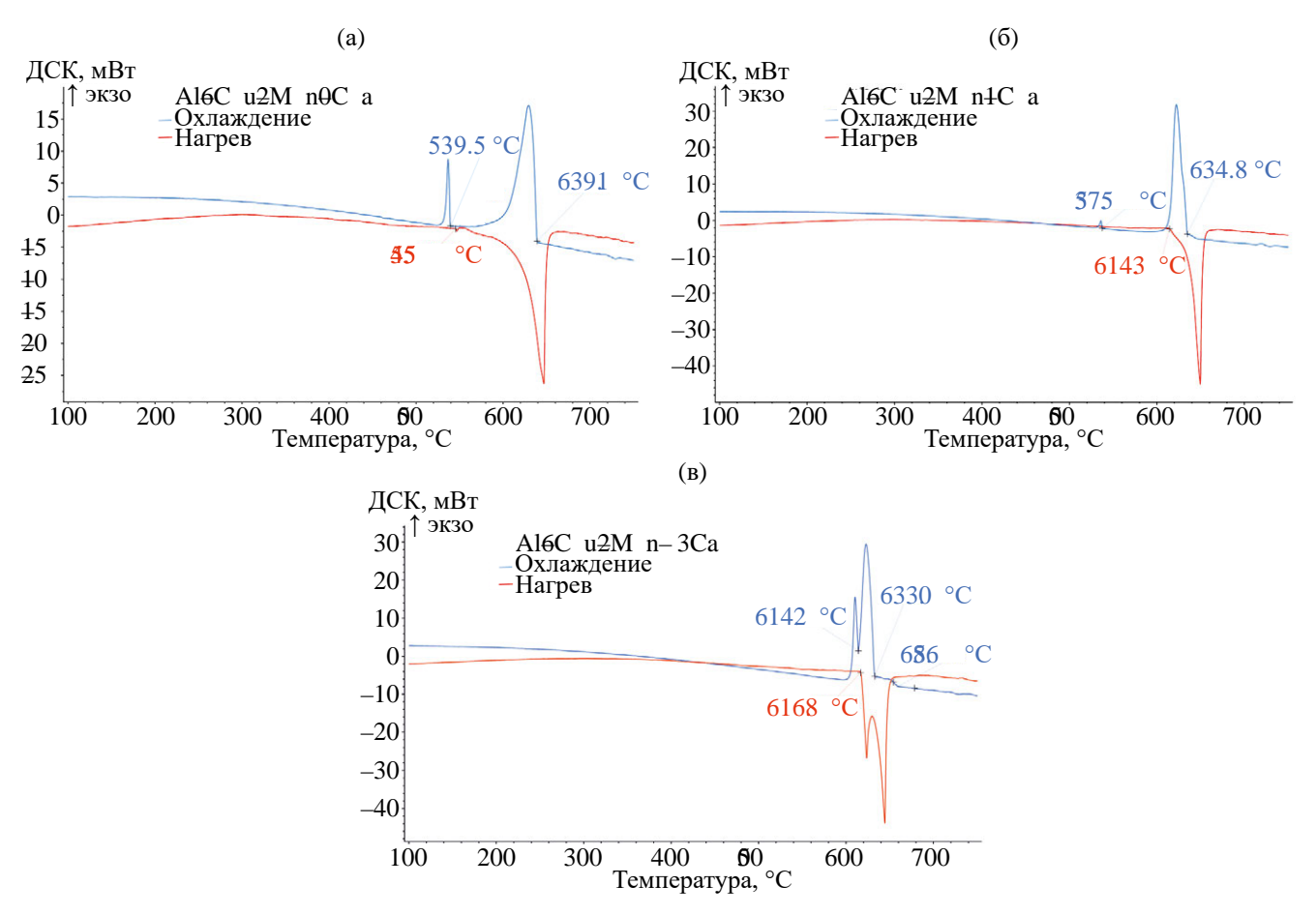


Рис. 6. ДСК-кривые нагрева и охлаждения сплавов 0Са (а), 1Са (б) и 3Са (в).

жащим 6%Си и 2%Мп, может приводить к образованию одной из 3-х фаз: Al₈CaCu₄, Al₂₇Ca₃Cu₇ и (Al,Cu), Ca, присутствующих в системе Al-Cu-Са [26]. Связывая медь в эти фазы, увеличение концентрации кальция приводит к уменьшению ее содержания в (Al) и исчезновению фазы Al₂Cu, определяющей фазовый состав марочных сплавов системы Al-Cu [16]. Как вытекает из результатов ДСК (табл. 1, рис. 6), формирование неравновесной эвтектики с участием фазы Al₂Cu, четко выраженное в базовом сплаве (рис. ба), еле выявляется при 1%Са (рис. 6б). В сплавах с 2—4%Са соответствующий низкотемпературный пик на кривых охлаждения полностью отсутствует (рис. 6в). С другой стороны, в этих сплавах фиксируются термические эффекты при 649-677°C, которые можно связать с образованием первичных кристаллов фазы $Al_{27}Ca_3Cu_7$. Особо следует отметить высокие температуры равновесного солидуса в сплавах 1Ca (~614°C) и 2Ca-4Ca (~617°C). Очевидно, что последнее значение $T_{\rm s}$ представляет собой температуру плавления эвтектики с участием фаз Al₂₇Ca₃Cu₇ и (Al,Cu), Ca. В сплаве 1Ca вероятно образование эвтектики с фазами Al₈CaCu₄ и Al₂₇Ca₃Cu₇. Для сплава 3Са процесс, начинающийся во время

охлаждения при 633° С, может быть связан с формированием эвтектики на основе фаз Al_{10} Са Mn_2 и Al_{20} Си $_2$ М n_3 . Следуя экспериментальным результатам данной работы и строению тройных систем Al—Си—Мп [16] Al—Си—Са [26] и Al—Са—Мп [27], было предложено распределение фазовых областей в твердом состоянии для четверной системы в области алюминиевого угла. Как видно из рис. 7, согласно предложенному варианту, в данной системе имеются 5 четырехфазных областей: I — (Al) + Al_2 Cu + Al_8 CaCu $_4$ + Al_{20} Cu $_2$ M $_3$, II — (Al) + Al_8 CaCu $_4$ + Al_{27} Ca $_3$ Cu $_7$ + Al_{20} Cu $_2$ M $_3$, III — (Al) + Al_{27} Ca $_3$ Cu $_7$ + Al_{20} Cu $_2$ M $_3$, IV — (Al) + Al_{27} Ca $_3$ Cu $_7$ + Al_{20} Cu $_2$ M $_3$, IV — (Al) + Al_{27} Ca $_3$ Cu $_7$ + $(Al, Cu)_4$ Ca + $(Al, Cu)_6$ CaM $_7$, $(Al, Cu)_7$ Ca $_7$ Cu $_7$ M $_7$ R

Поскольку описание Са-содержащих фаз отсутствует в известных термодинамических базах данных, то был проведен оценочный расчет массовых долей фаз в экспериментальных сплавах по методике, приведенной в [28]. Ее суть состоит в том, что поскольку в четырехфазных областях состав всех фаз постоянен, то соотношение фаз для заданного сплава можно рассчитать, зная какой именно четырехфазной области соответствует его состав.

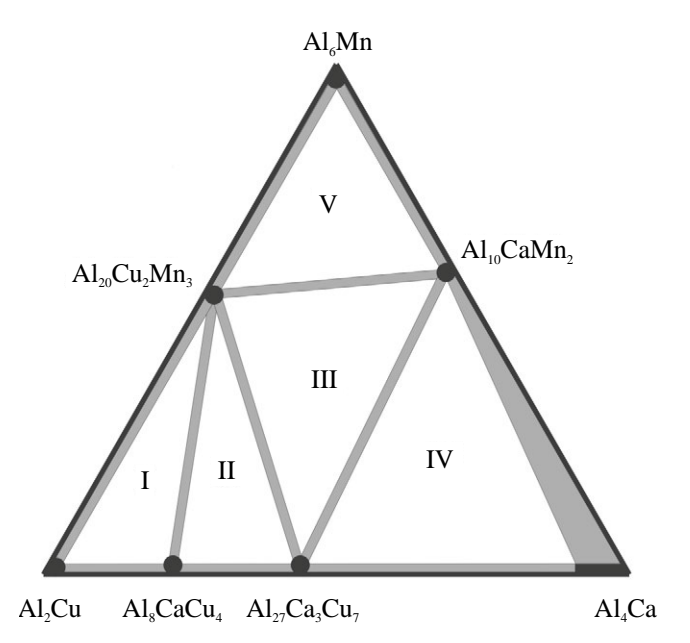


Рис. 7. Прогнозируемое распределение фазовых областей в твердом состоянии в системе Al—Cu—Mn—Ca в области алюминиевого угла.

Поскольку экспериментальные данные говорят о достижения равновесного состава (Al) после отжига при 580°C (табл. 3), то расчет соотношения фаз проводили именно для этой температуры. Для сплавов 1Са-4Са результаты такого расчета приведены в табл. 4. Из полученных значений следует, что сплав 1Са попадает в фазовую область II, при этом доля фазы Al₆CaCu₄ составляет менее 3%. Такой фазовый состав согласуется с микроструктурой, приведенной на рис. 5a. Сплав 2Ca попадает в область III, а сплавы 3Ca и 4Ca в область IV, что также согласуется с микроструктурами этих сплавов (рис. 56-г) (с некоторой погрешностью для сплава 2Са, в структуре которого присутствует небольшое количество фазы (Al,Cu),Ca.

Прогнозирование политермической диаграммы этой четверной системы предполагает более сложный анализ, поскольку в тройных системах Al—Cu—Mn [29] и Al—Ca—Mn [27] имеются нонвариантные перитектические реакции: $L+Al_6Mn\rightarrow(Al)+Al_2Cu_2Mn_3$ и $L+Al_6Mn\rightarrow(Al)+$

+АІ СаМп, соответственно. Можно предположить наличие нонвариантной перитектической реакции и в четверной системе, с участием всех этих фаз: L+Al₆Mn→(Al)+ Al₂₀Cu₂Mn₃+Al₁₀CaMn₂. Подтверждение этого предположения требует дополнительных экспериментов и специального анализа, в частности, по методике, предложенной в работе [27]. Поскольку в рассматриваемых сплавах первичные кристаллы фазы АІ, Мп не были выявлены, то можно считать, что в рассматриваемой концентрационной области нонвариантыми могут быть только эвтектические реакции. Среди последних наиболее вероятно наличие тех, которые примыкают к нонвариантным реакциям системы Al-Cu-Ca, а именно $L\rightarrow (Al)+Al_2Cu+$ $+Al_8CaCu_4$ и $L\rightarrow (Al)+(Al,Cu)_4Ca+Al_{77}Ca_3Cu_7$. В системе Al-Cu-Mn-Ca к ним должны добавиться Mn-содержащие фазы: $Al_{20}Cu_2Mn_3$ и $Al_{10}CaMn_2$ соответственно. При этом количество последних в четверных эвтектиках, следуя строению других систем типа Al-X-Y-Mn [29], вероятно, должно быть незначительным.

Из предложенного строения диаграммы Al-Cu-Mn-Ca следует, что для разработки жаропрочных сплавов перспективной является область на стыке областей II и III. Для данной области возможна реализация структуры, сочетающей алюминиевую матрицу, содержащую достаточно большое количество дисперсоидов $Al_{20}Cu_2Mn_3$, и эвтектику $(Al)+Al_{27}Ca_3Cu_7$, характеризующуюся тонким строением и высокой температурой плавления. В наибольшей степени такому фазовому составу отвечает сплав lCa.

выводы

- 1. С использованием экспериментальных методов (СЭМ, МРСА, ДСК) проведен анализ фазового состава сплавов системы Al—Cu—Ca—Mn, содержащих 6%Cu, 2%Mn и до 4% Ca. Определены состав алюминиевого твердого раствора—(Al), первичных интерметаллидов, эвтектических колоний, а также температура фазовых превращений.
- 2. Установлено, что добавка кальция приводит к формированию высокотемпературных эвтектик ($614-617^{\circ}$ C) с участием фаз $Al_{27}Ca_3Cu_7$

Таблица 4. Расчетный фазовый состав экспериментальных сплавов при 580°C

Сплав	Доля фазы, мас.%							
	Al ₈ CaCu ₄	Al ₂₇ Ca ₃ Cu ₇	(Al,Cu) ₄ Ca	$Al_{20}Cu_2Mn_3$	Al ₁₀ CaMn ₂	(Al)		
1Ca	2.9	13.6	_	7.1	_			
2Ca	_	16.3	_	_	5.4	0		
3Ca	_	13.6	4.9	_	5.5	Остальное		
4Ca	_	10.9	9.8	_	5.6			

- и $(Al,Cu)_4$ Са, способных к сфероидизации при нагреве (кристаллы первой фазы при 580°С, а второй уже при 540°С). Показано, что первичные кристаллы фазы Al_{27} Са $_3$ Си $_7$, для которых характерна компактная морфология, образуются в сплавах с содержанием Са не менее 2%.
- 3. Предложено строение фазовой диаграммы Al-Cu-Mn-Ca в области алюминиевого угла, согласно которому в твердом состоянии возможно наличие 5 четырехфазных областей с участием (Al) и интерметаллидов: Al_2Cu , (Al,Cu) $_4Ca$, Al_6Mn , Al_8CaCu_4 , $Al_{27}Ca_3Cu_7$, $Al_{10}CaMn_2$ и $Al_{20}Cu_2Mn_3$.
- 4. По совокупности полученных данных для разработки потенциально жаропрочных сплавов нового поколения предлагается в качестве основы композиция Al-6%Cu-1%Ca-2%Mn. При таких концентрациях легирующих элементов возможно сочетание алюминиевой матрицы, содержащей дисперсоиды $Al_{20}Cu_2Mn_3$, и эвтектики $(Al)+Al_{27}Ca_3Cu_7$, характеризующейся тонким строением.

Работа выполнена при поддержке гранта РНФ № 20-19-00249-П.

Авторы данной работы заявляют, что у них нет конфликта интересов.

СПИСОК ЛИТЕРАТУРЫ

- 1. *Kaufman J.G.*, *Rooy E.L.* Aluminum Alloy Castings // ASM International. 2004. 340 p.
- 2. Ashkenazi D. How aluminum changed the world: A metallurgical revolution through technological and cultural perspectives // Technol. Forecast. Soc. Change. 2019. V. 143. P. 101–113.
- 3. *Pedneault J., Majeau-Bettez G., Margni M.* Sector-specific scenarios for future stocks and flows of aluminum: An analysis based on shared socioeconomic pathways // J. Ind. Ecol. 2022. V. 26. № 5. P. 1728–1746.
- 4. Sivanur K., Umananda K.V., Pai D. Advanced materials used in automotive industry-a review // AIP Conf. Proc. 2021, V. 2317. № 1. P. 020032.
- 5. Zheng K., Politis D.J., Wang L., Lin J. A review on forming techniques for manufacturing lightweight complex shaped aluminium panel components // Int. J. Light. Mater. Manuf. 2018. V. 1. № 2. P. 55–80.
- 6. Белов Н.А., Белов В.Д., Савченко С.В., Самошина М.Е., Чернов В.А., Алабин А.Н. Поршневые силумины // Руда и металлы. 2011. 246 с.
- 7. Cai Q., Fang C., Lordan E., Wang Y., Chang I.T.H., Cantor B. A novel Al—Si—Ni—Fe near-eutectic alloy for elevated temperature applications // Scr. Mater. 2023. V. 237. P. 115707.
- 8. Mirzaee-Moghadam M., Lashgari H.R., Zangeneh S., Rasaee S., Seyfor M., Asnavandi M., Motjahedi M. Dry sliding wear characteristics, corrosion behavior, and hot deformation properties of eutectic Al–Si pis-

- ton alloy containing Ni-rich intermetallic compounds // Mater. Chem. Phys. 2022. V. 279. P. 125758.
- 9. Govind V., Praveen K.K., Vignesh R., Vishnu A., Vishnu J., Manivasagam G., Shankar K. Fretting Wear Behavior of Al—Si—Mg—Ni Hypoeutectic Alloy with Varying Solutionizing Time // Silicon. 2023. V. 15. № 10. P. 4193—4206.
- 10. Sha M., Wu S., Wan L., Lü S. Effect of Heat Treatment on Morphology of Fe-Rich Intermetallics in Hypereutectic Al—Si—Cu—Ni Alloy with 1.26 pct Fe // Metall. Mater. Trans. A. 2013. V. 44. № 13. P. 5642–5652.
- 11. Cai Q., Lordan E., Wang S., Liu G., Mendis C.L., Chang I.T.H., Ji S. Die-cast multicomponent near-eutectic and hypoeutectic Al-Si-Ni-Fe-Mn alloys: Microstructures and mechanical properties // Mater. Sci. Eng. A. 2023. V. 872. P. 144977.
- 12. *Kaiser M.S.* Solution Treatment Effect on Tensile, Impact and Fracture Behaviour of Trace Zr Added Al-12Si-1Mg-1Cu Piston Alloy // J. Inst. Eng. Ser. D. 2018. V. 99. № 1. P. 109—114.
- 13. *Lin G., Li K., Feng Y., Song W., Xiao M.* Effects of La—Ce addition on microstructure and mechanical properties of Al-18Si-4Cu-0.5Mg alloy // Trans. Nonferrous Met. Soc. China. 2019. V. 29. № 8. P. 1592—1600.
- 14. Ahmad R., Asmael M.B.A., Shahizan N.R., Gandouz S. Reduction in secondary dendrite arm spacing in cast eutectic Al—Si piston alloys by cerium addition // Int. J. Miner. Metall. Mater. 2017. V. 24. № 1. P. 91—101.
- 15. *Belov N.A., Alabin A.N.* Heat resistant aluminum base alloy and wrought semifinished product fabrication method: pat. WO 2014/088449. Russia. 2017.
- 16. *Belov N.A.*, *Akopyan T.K.*, *Shurkin P.K.*, *Korotkova N.O.* Comparative analysis of structure evolution and thermal stability of commercial AA2219 and model Al-2wt.%Mn-2wt.%Cu cold rolled alloys // J. Alloys Compd. 2021. V. 864. P. 158823.
- 17. Belov N.A., Korotkova N.O., Akopyan T.K., Tsydenov K.A. Simultaneous Increase of Electrical Conductivity and Hardness of Al-1.5 wt.% Mn Alloy by Addition of 1.5 wt.% Cu and 0.5 wt.% Zr // Metals (Basel). 2019. V. 9. № 12. P. 1246.
- 18. *Belov N.A.*, *Naumova E.A.*, *Eskin D.G*. Casting alloys of the Al–Ce–Ni system: microstructural approach to alloy design // Mater. Sci. Eng. A. 1999. V. 271. № 1–2. P. 134–142.
- 19. *Czerwinski F*. Cerium in aluminum alloys // J. Mater. Sci. 2020. V. 55. № 1. P. 24–72.
- 20. Cengiz S., Aboulfadl H., Thuvander M. Effect of Ce addition on microstructure, thermal and mechanical properties of Al–Si alloys // Mater. Today Commun. 2023. V. 34. P. 105518.
- 21. Gumaste A., Dhal A., Agrawal P., Haridas R.S., Vasudevan V.K., Weiss D., Mishra R.S. A Novel Approach for Enhanced Mechanical Properties in Solid-State Additive Manufacturing by Additive Friction Stir Deposition Using Thermally Stable Al—Ce—Mg Alloy // JOM. 2023. V. 75. № 10. P. 4185—4198.
- 22. *Naumova E.A.* Use of Calcium in Alloys: From Modifying to Alloying // Russ. J. Non-Ferrous Met. 2018. V. 59. № 3. P. 284–298.

- 23. Naumova E.A., Akopyan T.K., Letyagin N.V., Vasina M.A. Investigation of the structure and properties of eutectic alloys of the Al—Ca—Ni system containing REM // Non-ferrous Metals. 2018. № 2. P. 24—29.
- 24. *Mondal D.P., Jha N., Badkul A., Das S., Yadav M.S., Jain P.* Effect of calcium addition on the microstructure and compressive deformation behaviour of 7178 aluminium alloy // Mater. Des. 2011. V. 32. № 5. P. 2803–2812.
- 25. Letyagin N.V., Musin A.F., Sichev L.S. New aluminum-calcium casting alloys based on secondary raw materials // Mater. Today Proc. 2021. V. 38. P. 1551–1555.
- 26. Akopyan T.K., Belov N.A., Letyagin N.V., Cherkasov S.O., Nguen X.D. Description of the New Eutectic Al—Ca—Cu System in the Aluminum Corner // Metals (Basel). 2023. V. 13. № 4. P. 802.
- 27. Belov N.A., Naumova E.A., Doroshenko V.V., Korotkova N.O., Avxentieva N.N. Determination of the peritectic reaction parameters in the Al–Ca–Mn system in the region rich in aluminum // Phys. Met. Metal. 2022. V. 123. № 8. P. 759–767.
- 28. Белов Н.А. Диаграммы состояния тройных и четверных систем. МИСиС, 2007. 360 с.
- 29. *Mondolfo L.F.* Aluminium Alloys: Structure and Properties. London: Butterworths, 1976. 640 p.

ANALYSIS OF PHASE COMPOSITION OF THE Al-Cu-Mn-Ca SYSTEM AS A BASE FOR HEAT-RESISTANT ALUMINUM ALLOYS

N. A. Belov¹, A. I. Kovalev², *, D. A. Vinnik², ³, ⁴, K. A. Tsydenov¹, S. O. Cherkasov¹

¹National Research Technological University MISiS, Moscow, 119049 Russia

²South Ural State University, Chelyabinsk, 454080 Russia

³Moscow Institute of Physics and Technology, MIPT, Dolgoprudny, Moscow region, 141701 Russia

⁴St. Petersburg State University, St. Petersburg, 198504 Russia

*e-mail: kovalev-andrey-i@mail.ru

The phase composition of the Al–Cu–Ca–Mn alloys containing (wt %) 6% Cu, 2% Mn, and to 4% Ca is analyzed. The Al–Cu–Ca–Mn phase diagram in the Al corner is proposed, according to which five four-phase regions with the participation of Al-based solid solution (Al) and various intermetallic compounds are possible to exist in the solid state. The Al–6% Cu–1% Ca–2% Mn composition is suggested as the base for developing new-generation heat-resistant (hot-strength) alloys. In the case of such contents of alloying elements, the combination of aluminum matrix containing $Al_{20}Cu_2Mn_3$ dispersoids and (Al) + $Al_{27}Ca_3Cu_7$ eutectic characterized by fine structure is possible.

Keywords: aluminum alloys, Al-Cu-Mn-Ca system, phase composition, eutectic